

روش سریع تعیین حالت پیش‌بینی درون‌قابی

و اندازه واحد کدگذاری در HEVC

سمانه پارسایی^۱، حسین خانجانی^۲، مرتضی خادمی درج^{۳*}، عباس ابراهیمی مقدم^۴، هادی هادیزاده^۵
۱ و ۲ گروه برق، دانشکده مهندسی، دانشگاه فردوسی مشهد، مشهد، ایران
۳ گروه برق، دانشکده برق و کامپیوتر، دانشگاه صنعتی قوچان، قوچان، ایران

چکیده

با گسترش اینترنت و فناوری‌های بی‌سیم، کاربردهای مرتبط با ویدیو بسیار بیشتر از قبل گسترش یافته‌اند؛ اما با توجه به پهنای باند محدود شبکه، ضرورت وجود فناوری فشرده‌سازی ویدیو با بهره بالا همچنان احساس می‌شود. در همین اواخر استاندارد فشرده‌سازی ویدیویی جدیدی موسوم به «کدگذاری پربازده ویدیو» معرفی شده‌است که بهره فشرده‌سازی را نسبت به استاندارد قبلی موسوم به «فشرده‌سازی پیشرفته ویدیو»، دوبرابر و در عین حال، سطح کیفیت ویدیو را حفظ می‌کند. در استاندارد HEVC به منظور بهبود بهره کدگذاری، ۳۵ حالت پیش‌بینی درون‌قابی تعریف شده‌است. بهترین حالت پیش‌بینی درون‌قابی از بین این حالت‌ها با استفاده از فرآیندی موسوم به «بهینه‌سازی نرخ بیت-اعوجاج» (RDO) انتخاب می‌شود. هدف این پژوهش، ارائه روشی برای کاهش تعداد حالت‌های پیش‌بینی درون‌قابی کدگذار HEVC است، چرا که بررسی همه حالت‌ها در این فرآیند بسیار زمان‌بر است. در این پژوهش روش جدیدی مبتنی بر عملگر سوبل جهت تعیین سریع حالت پیش‌بینی درون‌قابی و همچنین اندازه واحد کدگذاری در HEVC پیشنهاد شده‌است. زمان کدگذاری نسبت به نرم‌افزار مرجع HEVC (HM) با استفاده از روش پیشنهادی سریع، به‌طور متوسط ۵۶٪ و با استفاده از روش پیشنهادی دقیق، به‌طور متوسط ۲۹٪ کاهش یافته و در هر دو روش افت کیفیت ویدیوی نهایی قابل چشم‌پوشی است. واژگان کلیدی: کدگذاری ویدیو، کدگذاری پربازده ویدیو (HEVC)، بهینه‌سازی نرخ - اعوجاج (RDO)، پیش‌بینی درون‌قابی، سوبل.

Fast CU Size and Intra Mode Decision Algorithm for HEVC Standard

Samaneh Parsaee¹, MSc. Student; Hossein Khanjani², PhD. Student; Morteza Khademi Doroh^{3*}, Professor; Abbas Ebrahimi Moghadam⁴, Assistant Professor; Hadi Hadizadeh⁵, Assistant Professor

^{1,2,3,4} Faculty of Engineering, Ferdowsi University of Mashhad, Mashhad, Iran,

⁵ Department of Electrical and Computer Engineering, Quchan University of Technology, Iran

Abstract

With the expansion of the Internet and wireless technologies, video-related applications have been expanded much more than ever. But since network bandwidth is limited, better high-gain video compression methods remain essential. Recently, the new video compression standard called "High Efficiency Video Coding" (HEVC) has been introduced, which doubles the compression compared to the previous standard called "Advanced Video Coding", while preserving video quality at the same time. In HEVC standard, 35 intra prediction modes have been defined to improve the efficiency of encoding algorithm. The best intra prediction mode is chosen using a process called "Rate Distortion Optimization". The purpose of this study is to propose a method to reduce the number of intra

* Corresponding author

* نویسنده عهده‌دار مکاتبات

سال ۱۴۰۲ شماره ۳ پیاپی ۵۷

• تاریخ ارسال مقاله: ۱۳۹۸/۲/۲۸ • تاریخ پذیرش: ۱۴۰۰/۱/۲۳ • تاریخ انتشار: ۱۴۰۲/۱۰/۲۴ • نوع مطالعه: پژوهشی



فصلنامه



۱۸۳

prediction modes in RDO process, since it is a very time consuming process. A new method based on Sobel operator is proposed for fast determination of intra prediction mode as well as coding unit size in HEVC. Although Sobel operator is an essential part of our algorithm, other features were extracted from coding control part of HEVC algorithm to excel the speed of coding process, since the main purpose of fast coding algorithm should be to reduce complexity while producing a bit-stream, which preserves the quality of decoded video. These features are parent CU mode, modes with lower cost functions and modes that are determined to be most probable via pervious researches. Parent CU mode is intra angle of coding unit that contains the current CU and since HEVC uses quad-tree algorithm to calculate the best mode, it is available at the time of calculating the best mode for current CU. Modes with lower cost functions are modes that have the least cost function value that are calculated by HM via a fast algorithm and modes that are determined to be the most probable via pervious researches are DC and horizontal and vertical modes. Two algorithms are proposed to enhance coding speed. The first one is fast algorithm which considers a few CTU coding depth, given that some conditions are fulfilled. These conditions are equalities or non-equalities in which the variables are costs of the aforementioned modes. The second algorithm considers all CTU depths in coding process, but it incorporates only one intra mode in RDO process, given that some conditions are fulfilled. The Sobel operator acts as a verifier, in other words if the Sobel operator agrees with all or some of the intra angles that are mentioned above, the RDO process is considered to be over and the verified angle will be chosen for CU to be coded with. Coding time compared to HEVC reference software (HM) using the proposed fast method is reduced by an average of 56% and by using the proposed precise method is reduced by an average of 29%. In the proposed precise method, final video quality degradation is negligible.

Keywords: Video Coding, High Efficiency Video Coding (HEVC), Rate- distortion Optimization (RDO), Intra Prediction, Sobel.

درخت کدگذاری (CTU) تقسیم می‌شوند که اندازه آنها حداکثر 64×64 است. هر واحد کدگذاری می‌تواند به چهار زیرواحد مربعی تقسیم شود. هر کدام از این زیرواحدها می‌توانند اندازه‌های 8×8 تا 64×64 را داشته باشند. وجود این تنوع در تقسیم‌بندی تصویر، پیچیدگی‌های محاسباتی الگوریتم کدگذار HEVC را به شدت بالا می‌برد.

شکل (۱) ساختار درختی واحدهای کدگذاری و جهت‌های پیش‌بینی درون‌قابی را نشان می‌دهد. همان‌طور که در شکل ۱ قسمت (ب) نشان داده شده، در این استاندارد، ۳۵ حالت برای پیش‌بینی درون‌قابی طراحی شده‌است. هرچند افزایش تعداد حالات، باعث بهبود عملکرد پیش‌بینی می‌شود، اما از سوی دیگر، منجر به افزایش محاسبات در فرآیند بهینه‌سازی نرخ بیت-اعوجاج نیز می‌شود. به این منظور در استاندارد HEVC، کدگذار باید میزان اعوجاج و همچنین نرخ بیت را برای همه ۳۵ حالت ممکن پیش‌بینی درون‌قابی و همه اندازه‌های ممکن برای واحد پیش‌بینی و واحد کدگذاری محاسبه کند. پس از محاسبه میزان اعوجاج و نرخ بیت، طبق رابطه (۱) مقدار تابع هزینه برای هر حالت پیش‌بینی به دست می‌آید:

$$J = R + \lambda D . \quad (1)$$

۱- مقدمه

رشد فزاینده تکنولوژی‌های مخابراتی، ضرورت فشرده‌سازی داده را بیش از پیش نمایان می‌کند. روش‌های جدید فشرده‌سازی، امکان ذخیره یا ارسال حجم زیادی از داده برای نمایش تصاویر و ویدیوهای دیجیتال را بدون افت کیفیت محسوس ایجاد می‌کنند. در حال حاضر استاندارد موسوم به «کدگذاری پربازده ویدیو (HEVC)، جدیدترین استاندارد در زمینه فشرده‌سازی ویدیو است که کار مشترک دو سازمان استانداردسازی به نام‌های ITU-T و Video Coding Experts Group (VCEG) و ISO/IEC Moving Picture Experts Group (MPEG) است [۱]. در این استاندارد، نسبت به استانداردهای پیشین، از روش‌های کارآمدتری برای فشرده‌سازی استفاده می‌شود که همین امر سبب افزایش چشم‌گیر پیچیدگی‌های محاسباتی در این استاندارد شده‌است. یکی از این روش‌ها، استفاده از ساختار درختی در واحدهای کدگذاری (CU) است. به‌منظور انجام عملیات پیش‌بینی، هر واحد کدگذاری به واحدهای پیش‌بینی (PU) تقسیم می‌شود. تصمیم‌گیری در مورد پیش‌بینی درون‌قابی یا برون‌قابی در سطح واحد پیش‌بینی انجام می‌شود. در نرم‌افزار مرجع HEVC [۳]، تصاویر به واحدهایی به نام قطعه^۱ تقسیم شده و این واحدها به دنباله‌ای از واحدهای

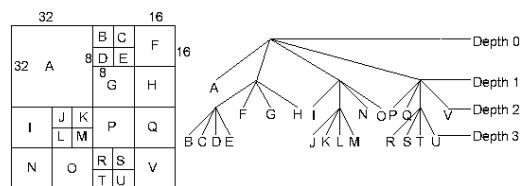
¹Slice

در سال‌های اخیر، روش‌های سریع مختلفی برای کاهش پیچیدگی محاسباتی بخش پیش‌بینی درون‌قابی در استاندارد HEVC پیشنهاد شده است [۷-۳۴]. این پژوهش‌ها را به‌طور کلی به سه دسته می‌توان تقسیم کرد:

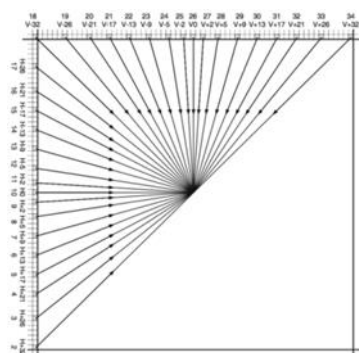
الف- روش‌های تعیین سریع حالت پیش‌بینی درون‌قابی:

در این دسته از پژوهش‌ها [۵، ۷-۱۶] سعی شده است تا مطابق نرم‌افزار مرجع، تعداد حالت‌هایی که در فرآیند بهینه‌سازی نرخ بیت - اعوجاج مورد بررسی قرار می‌گیرند، کاهش یابد تا از این طریق موجب افزایش سرعت و کاهش پیچیدگی محاسباتی الگوریتم HEVC شود، اما درضمن آن، بهره‌کدگذاری^۱ نیز نباید کاهش قابل ملاحظه‌ای داشته باشد. یکی از نخستین پیشنهادها برای افزایش سرعت کدگذار در استاندارد HEVC، که مورد قبول JCT-VC نیز قرار گرفت، محاسبه تابع هزینه بر اساس تبدیل هادامارد و انتخاب N حالت پیش‌بینی با کمترین توابع هزینه از بین ۳۵ حالت پیش‌بینی درون‌قابی است. [۱۱] که این فرآیند "فرآیند تعیین حالت درشت" (RMD) نامیده شده است. پس از انتخاب N حالت پیش‌بینی درون‌قابی از این طریق، فرآیند بهینه‌سازی نرخ بیت - اعوجاج فقط بر روی همین N حالت انجام می‌شود تا حالت پیش‌بینی بهینه به دست آید. اندازه N وابسته به اندازه واحد کدگذاری است. در [۱۵] مقدار N بهینه برای هر اندازه از واحد کدگذاری پیشنهاد شده که این مقدار برای واحدهای با اندازه‌های 4×4 و 8×8 مساوی ۸ و برای واحدهای کدگذاری با اندازه‌های 16×16 ، 32×32 و 64×64 مساوی ۳ است. در [۱۶]

از اطلاعات لبه و تجزیه و تحلیل نمودار هیستوگرام گرادین‌های به‌دست‌آمده برای هر حالت پیش‌بینی در واحد کدگذاری جاری به‌منظور کاهش تعداد حالات پیش‌بینی درون‌قابی استفاده شده است. برای یافتن اطلاعات لبه از عملگرهای تشخیص لبه مانند عملگر Canny [۱۰] و عملگر سوپل [۵] نیز استفاده شده است. همچنین از این موضوع که حالت پیش‌بینی واحدهای کدگذاری مجاور، می‌توانند مشابه هم باشند، استفاده شده است. در یک تصویر، یک شیء با جهت ثابت عموماً چندین واحد کدگذاری را شامل می‌شود؛ در نتیجه حالت پیش‌بینی درون‌قابی برای تمام این واحدها یکسان خواهد بود. در [۵] از



(الف)



(ب)

(شکل-۱) (الف) ساختار درختی تعریف‌شده در استاندارد HEVC، (ب) جهت‌های زاویه‌ای تعریف‌شده برای پیش‌بینی درون‌قابی در استاندارد HEVC

Fig.1. a) Quad-Tree structure in HEVC, b) Intra angles in HEVC

که در این رابطه، D مقدار عددی محاسبه‌شده به‌وسیله معیار اعوجاج است که با محاسبه میانگین مربعات خطا (MSE) به‌دست می‌آید. λ ، که ضریب لاگرانژ نامیده می‌شود، یک مقدار غیر منفی است [۱]. R تعداد بیت‌های مورد نیاز برای ارسال پارامترهای کدگذاری مانند ضرایب تبدیل و اندازه واحدهای کدگذاری است. پس از به‌دست‌آوردن مقدار تابع هزینه برای هر حالت پیش‌بینی، حالتی که کمترین هزینه را داشته باشد به عنوان حالت بهینه انتخاب می‌شود.

با توجه به تعداد زیاد حالات پیش‌بینی درون‌قابی در این استاندارد، سه حالت با بیشترین احتمال (MPMs) به‌منظور کدگذاری ساده‌تر حالت پیش‌بینی درون‌قابی لحاظ شده است که این سه حالت با توجه به حالت پیش‌بینی بهینه واحدهای کدگذاری مجاور چپ و بالا به‌دست می‌آیند [۱]. اگر حالت انتخاب‌شده برای پیش‌بینی درون‌قابی، یکی از این سه حالت باشد، برای کدگذاری تنها لازم است، شاخص حالت انتخابی در این مجموعه سه‌تایی ارسال شود، اما اگر حالت انتخابی در این مجموعه نباشد، از آنجا که احتمال وقوع بقیه حالات به‌طور تقریبی یکسان است، می‌توان حالت انتخاب‌شده را که یکی از ۳۲ حالت باقی‌مانده است، با یک کد با طول ثابت پنج بیت ارسال کرد.

^۱Coding efficiency

داده‌های مربوط به جهت تعیین‌شده در واحدهای کدگذاری مجاور برای سرعت بخشیدن به فرآیند کدگذاری استفاده شده‌است. در [۳۷] با در نظر گرفتن خصوصیات آماری ریت و اعوجاج و در نظر گرفتن تابع توزیع مناسب برای حالات مختلف پیش‌بینی درون‌قابی، مودهای با احتمال کم از پروسه RDO حذف شد.

ب- روش‌های تعیین سریع اندازه بهینه واحد کدگذاری: در این دسته از پژوهش‌ها [۱۷-۲۸] از اطلاعات کدگذاری از جمله تابع هزینه و ویژگی‌های بافت واحدهای مجاور، برای تسریع در فرآیند انتخاب حالت پیش‌بینی درون‌قابی واحد کدگذاری جاری استفاده می‌شود؛ به این ترتیب که بر اساس این اطلاعات، تصمیم گرفته می‌شود که آیا لازم است عمق‌های پایین‌تر از عمق جاری نیز مورد بررسی قرار گیرند یا خیر. برای مثال، اگر در حال حاضر عمق دو در حال بررسی باشد و این نتیجه حاصل شود که بررسی عمق سه لازم نیست، برای واحدهای قرار گرفته در عمق سه، فرآیند یافتن حالت پیش‌بینی بهینه درون‌قابی حذف شده و از این طریق، حجم محاسبات به طرز چشم‌گیری کاهش می‌یابد. در [۲۸] از تابع هزینه‌ای با پیچیدگی پایین برای کاهش عمق‌های مورد بررسی استفاده شده که نتیجه آن کاهش حدود عمق مورد بررسی در فرآیند بهینه‌سازی نرخ بیت-اعوجاج است. در [۳۸] با در نظر گرفتن بهترین مود و اعوجاج عمق‌های میانی بلوک‌های گذشته، بهترین عمق تقسیم بندی بلوک‌ها تعیین شده‌است. همچنین می‌توان از داده‌های مربوط به اندازه نهایی تعیین شده برای واحدهای کدگذاری در بلوک‌های گذشته مجاور استفاده کرد. در نتیجه با استفاده از این روش ممکن است، این نتیجه حاصل شود که بررسی واحدهای پیش‌بینی کوچک در بلوک جاری، مورد نیاز نیست.

ج- روش‌های ترکیبی: در این دسته از پژوهش‌ها [۲۹-۳۴] از ترکیب روش‌های تعیین سریع حالت پیش‌بینی و اندازه واحد کدگذاری استفاده می‌شود. در [۲۹] فرآیند بهینه‌سازی نرخ بیت - اعوجاج برای تعیین حالت پیش‌بینی درون‌قابی بهینه روی حالات پیش‌بینی به دست آمده از فرآیند تعیین حالت درشت و همچنین حالت پیش‌بینی درون‌قابی واحد پیش‌بینی عمق قبلی انجام می‌شود. همچنین برای

تعیین اندازه واحد کدگذاری، اگر حالت پیش‌بینی واحد پیش‌بینی جاری و واحد پیش‌بینی عمق قبلی یکسان باشد، واحد جاری تقسیم نمی‌شود. در [۳۱] بر اساس مقدار تابع هزینه محاسبه شده برای واحدهای کدگذاری مجاور، یک مقدار آستانه تعریف شده و مقدار تابع هزینه برای هر حالت پیش‌بینی در واحد جاری با این مقدار مقایسه می‌شود. اگر تابع هزینه واحد جاری کمتر از مقدار آستانه باشد، حالت پیش‌بینی مربوطه به عنوان حالت پیش‌بینی درون‌قابی بهینه انتخاب می‌شود. در غیر این صورت، تابع هزینه برای حالت پیش‌بینی بعدی محاسبه و دوباره با مقدار آستانه مقایسه می‌شود. با استفاده از این روش‌ها زمان کدگذاری بسیار کاهش یافته و در عین حال، بهره فشرده‌سازی کاهش قابل ملاحظه‌ای ندارد.

در این مقاله به جز اپراتور سوئل از RMD، MPM و همچنین مد مربوط به CU والد CU در حال کدشدن نیز استفاده شده‌است. همچنین جهت افزایش سرعت الگوریتم اندازه CUها برای ورود به چرخه RDO محدود شده‌است. با توجه به این موضوع که حالت‌های تعیین‌شده از طریق RMD از احتمال بالایی برای انتخاب به‌وسیله چرخه RDO دارند و حالت‌های MPM در صورتی که به‌وسیله چرخه RDO انتخاب شوند تعداد بیت‌های ارسالی را کاهش می‌دهند؛ در صورتی که اپراتور سوئل در یک CU جهتی را بر دیگر جهت‌ها مقدم بدانند، این جهت با جهاتی که در چرخه RMD یا MPM به دست آمده‌اند مقایسه شده و بنا به الگوریتم‌های ارائه‌شده در بخش ۲ یا از بررسی RDO برای عمق‌های پایین‌تر صرف نظر می‌کنیم و یا همین جهت در عمق فعلی را به‌عنوان بهترین انتخاب در نظر می‌گیریم.

هدف از انجام این پژوهش، یافتن روشی برای تعیین سریع اندازه بهینه واحد کدگذاری و همچنین یافتن حالت پیش‌بینی درون‌قابی به‌منظور کاهش پیچیدگی کدگذار در بخش پیش‌بینی درون‌قابی در استاندارد HEVC است. طرح و سازمان کلی این مقاله به این شرح است: در بخش ۲ روش پیشنهادی ارائه می‌شود و در بخش ۳ نتایج شبیه‌سازی مورد بررسی قرار می‌گیرد. بخش ۴ نیز شامل نتیجه‌گیری است.

۲-۱- روش پیشنهادی جهت تعیین سریع حالت

پیش‌بینی درون‌قابی

هدف از آشکارسازی لبه در تصاویر، مشخص کردن نقاطی از تصویر است که در آن‌ها روشنایی تصویر به‌طور ناگهانی تغییر می‌کند. عمل‌گرهای زیادی در حوزه فناوری آشکارسازی لبه به کار می‌روند که یکی از آن‌ها عملگر سوبل است. این عملگر می‌تواند هم اندازه و هم جهت بردار گرادیان را در هر نقطه از تصویر به دست دهد. بنابراین می‌توان با به‌کارگیری از این ویژگی عملگر سوبل، از محاسبه تابع هزینه برخی از حالات پیش‌بینی درون‌قابی صرف‌نظر کرده و از این طریق، زمان کدگذاری را نسبت به نرم‌افزار مرجع بسیار کاهش داد. عملگر سوبل از دو ماتریس 3×3 استفاده می‌کند که در دو جهت افقی و عمودی با تصویر کانالو می‌شود و نتیجه آن تقریبی از تغییرات روشنایی در دو جهت افقی و عمودی است. این ماتریس‌ها به شکل زیر هستند [۴]:

$$G_x = \begin{bmatrix} -1 & 0 & 1 \\ -2 & 0 & 2 \\ -1 & 0 & 1 \end{bmatrix} * PU. \quad (2)$$

$$G_y = \begin{bmatrix} 1 & 2 & 1 \\ 0 & 2 & 0 \\ -1 & -2 & -1 \end{bmatrix} * PU.$$

که در این رابطه PU واحد پیش‌بینی است که یک بلوک مربعی است. G_x گرادیان به‌دست‌آمده در جهت افقی و G_y گرادیان به‌دست‌آمده در جهت عمودی است. برای سادگی در محاسبات و سرعت بیشتر، می‌توان از تقریب‌های زیر برای محاسبه دامنه و زاویه گرادیان استفاده کرد:

$$G = |G_x| + |G_y| \quad (3)$$

$$\theta = \tan^{-1} \frac{G_y}{G_x} \quad (4)$$

در مرحله بلوک پیش‌بینی، بر اساس اطلاعات گرادیان، می‌توان نزدیک‌ترین حالت پیش‌بینی درون‌قابی به جهت گرادیان را مشخص کرد. این حالت با مقایسه $\tan^{-1} \frac{G_y}{G_x}$ و حدود تخمین‌زده‌شده که بر اساس زوایای تعیین‌شده برای حالت‌های پیش‌بینی درون‌قابی در استاندارد HEVC محاسبه شده‌اند، به دست می‌آید. حدود بالا و پایین برای هر حالت پیش‌بینی درون‌قابی در جدول (۱) آمده است.

در روش پیشنهادی، با اعمال عملگر سوبل، مقدار G در رابطه (۳) برای هر پیکسل محاسبه می‌شود. اگر این دامنه از آستانه‌ای که در روش پیشنهادی عدد ۱۰ در نظر گرفته شده، بیشتر باشد، زاویه گرادیان در محل پیکسل

مربوطه هم محاسبه می‌شود. سپس بر اساس مقدار زاویه گرادیان به‌دست‌آمده و با مراجعه به جدول (۱)، حالت پیش‌بینی درون‌قابی مربوطه استخراج می‌شود. فراوانی پیکسل‌هایی که حالت پیش‌بینی یکسانی دارند و همچنین مجموع دامنه گرادیان این پیکسل‌ها محاسبه شده و بر اساس آن سه حالت پیش‌بینی که بیشترین فراوانی و بزرگترین مجموع دامنه گرادیان را داشته باشند، به‌عنوان سه حالت پیش‌بینی درون‌قابی سوبل در نظر گرفته می‌شوند. در نهایت مجموعه حالت‌های پیش‌بینی درون‌قابی به این ترتیب شکل می‌گیرد:

(جدول ۱-) حدود بالا و پایین G_y/G_x برای حالت‌های پیش‌بینی درون‌قابی تعریف‌شده در HEVC [۵]

Table.1. Upper and lower limits of G_y/G_x for HEVC intra prediction in [5]

| Mode | Low Limit | High Limit | Mode | Low Limit | High Limit |
|------|-----------|------------|------|-----------|------------|
| 2 | -1.15928 | -1 | 18 | 0.86261 | 1.15928 |
| 3 | -1.53711 | -1.15928 | 19 | 0.65057 | 0.86261 |
| 4 | -1.98666 | -1.53711 | 20 | 0.50336 | 0.65057 |
| 5 | -2.59240 | -1.98666 | 21 | 0.38574 | 0.50336 |
| 6 | -3.61354 | -2.59240 | 22 | 0.27674 | 0.38574 |
| 7 | -5.76314 | -3.61354 | 23 | 0.17352 | 0.27674 |
| 8 | -11.61240 | -5.76314 | 24 | 0.08611 | 0.17352 |
| 9 | -40.73548 | -11.61240 | 25 | 0.02455 | 0.02455 |
| 10 | $-\infty$ | -40.73548 | 26 | 0.02455 | 0.02455 |
| 10 | 40.37548 | $-\infty$ | 27 | 0.08611 | 0.02455 |
| 11 | 11.61240 | 40.37548 | 28 | 0.17352 | 0.08611 |
| 12 | 5.76314 | 11.61240 | 29 | 0.27674 | 0.17352 |
| 13 | 3.61354 | 5.76314 | 30 | 0.38574 | 0.27674 |
| 14 | 2.59240 | 3.61354 | 31 | 0.50336 | 0.38574 |
| 15 | 1.98666 | 2.59240 | 32 | 0.65057 | 0.50336 |
| 16 | 1.53711 | 1.98666 | 33 | 0.86261 | 0.65057 |
| 17 | 1.15928 | 1.53711 | 34 | -1 | 0.86261 |

۱- نخستین حالت پیش‌بینی به دست آمده از فرآیند

تعیین حالت درشت

۲- حالت‌های پیش‌بینی به‌دست‌آمده از عملگر سوبل

۳- حالت والد ۱ (اگر یک واحد کدگذاری به زیرواحدهای کدگذاری تقسیم شود، حالت پیش‌بینی این واحد برای هرکدام از زیرواحدها، حالت والد است)

۴- دومین حالت پیش‌بینی به‌دست‌آمده از فرآیند تعیین حالت درشت

۵- سومین حالت پیش‌بینی به‌دست‌آمده از فرآیند تعیین حالت درشت

۶- سه حالت با بیشترین احتمال

در پژوهش حاضر، دو روش پیشنهاد شده‌است. روش اول، روشی است که عملکرد آن از لحاظ BD2-Rate و BD-PSNR، به نرم‌افزار مرجع بسیار نزدیک است. به همین دلیل این روش را "روش دقیق" می‌نامیم. در روش دوم، زمان کدگذاری نسبت به نرم‌افزار مرجع (HM) کاهش قابل ملاحظه‌ای دارد، اما مقادیر BD-Rate و BD-PSNR نسبت به نرم‌افزار مرجع به ترتیب مقداری افزایش در نرخ بیت و کاهش در بیشینه سیگنال به نویز را نشان می‌دهند. این روش را "روش سریع" می‌نامیم.

در دو روش پیشنهادی، فرآیندی برای به‌روزرسانی مجموعه حالت‌های پیش‌بینی، به کار رفته است که این فرآیند در دو روش دقیق و سریع متفاوت است.

در روش سریع طبق نمودار گردش کار در شکل ۲، به‌روزرسانی مجموعه حالات پیش‌بینی به این ترتیب انجام می‌شود: در شرط اول، تشابه اولین حالت پیش‌بینی به دست‌آمده از فرآیند تعیین حالت درشت و سه حالت پیش‌بینی سوپل را بررسی می‌کنیم. اگر اولین حالت پیش‌بینی به‌دست‌آمده از فرآیند تعیین حالت درشت و یکی از حالت‌های سوپل مشابه هم باشند، اولین حالت پیش‌بینی به‌دست‌آمده از فرآیند تعیین حالت درشت به عنوان حالت برگزیده انتخاب و از بررسی عمق‌های پایین‌تر نیز صرف‌نظر می‌شود که همین امر سبب افزایش قابل توجه سرعت کدگذاری می‌شود. اما اگر شرط اول برقرار نباشد، یعنی اولین حالت پیش‌بینی به‌دست‌آمده از فرآیند تعیین حالت درشت و یکی از سه حالت پیش‌بینی سوپل، تشابه با هم نداشته باشند، شرط دوم بررسی می‌شود. به این صورت که تساوی اولین حالت پیش‌بینی به‌دست‌آمده از فرآیند تعیین حالت درشت، حالت والد و سه حالت پیش‌بینی با بیشترین احتمال بررسی می‌شود. اگر این حالت‌های پیش‌بینی با هم برابر باشند، اولین حالت پیش‌بینی به‌دست‌آمده از فرآیند تعیین حالت درشت، به عنوان حالت پیش‌بینی برگزیده انتخاب می‌شود. اما اگر

این سه حالت پیش‌بینی نیز مساوی نباشند، مجموعه حالت‌های پیش‌بینی، طبق ترتیبی که در ابتدا گفته شد، به‌غیر از سه حالت پیش‌بینی سوپل، تشکیل شده و فرآیند بهینه‌سازی نرخ بیت - اعوجاج انجام می‌شود تا حالت پیش‌بینی بهینه به‌دست‌آید.

در روش دقیق، با توجه به نمودار گردش کار در شکل (۳)، به‌روزرسانی مجموعه حالات پیش‌بینی مشابه روش سریع است با این تفاوت که در روش دقیق پس از بررسی شرط نخست و در صورت برقراری آن، عمق‌های پایین‌تر نیز برای دستیابی به حالت پیش‌بینی دقیق‌تر، مورد بررسی قرار می‌گیرند.

پس از به‌دست‌آوردن مجموعه نهایی حالت‌های پیش‌بینی، طبق آنچه گفته شد، باید حالت پیش‌بینی بهینه را از بین آنها با محاسبه تابع هزینه هرکدام انتخاب کرد. در روش پیشنهادی یک مقدار آستانه بر اساس توابع هزینه واحدهای مجاور و والد تعریف شده که عبارت است از:

(۵)

$$Tr1 = \frac{RDCost_p + RDCost_l + RDCost_u + RDCost_{l-u} + RDCost_{r-u}}{5}$$

که در این رابطه $RDCost_p$ تابع هزینه والد، $RDCost_l$ تابع هزینه واحد کدگذاری سمت چپ، $RDCost_u$ تابع هزینه واحد کدگذاری بالا، $RDCost_{l-u}$ تابع هزینه واحد کدگذاری قطری چپ و $RDCost_{r-u}$ تابع هزینه واحد کدگذاری قطری راست است.

در روش سریع برای یافتن حالت بهینه از نخستین حالت پیش‌بینی درون‌قابی در این مجموعه، فرآیند آغاز می‌شود؛ به این ترتیب که تابع هزینه حالت پیش‌بینی درون‌قابی عضو نخست حساب شده و مقدار آن در یک بافر قرار می‌گیرد. اگر مقدار این تابع هزینه کمتر از آستانه تعریف شده در رابطه (۵) باشد،

از بررسی عمق‌های پایین‌تر صرف‌نظر می‌کنیم، چرا که هدف از یافتن حالت پیش‌بینی درون‌قابی در واقع یافتن لبه غالب با دامنه به اندازه کافی بزرگ است؛ سپس بر اساس این حالت پیش‌بینی درون‌قابی به‌دست‌آمده، تقسیم‌بندی واحدهای تبدیل آغاز می‌شود؛ اما اگر تابع هزینه حالت پیش‌بینی درون‌قابی نخست از آستانه تعریف شده با رابطه (۵) کمتر نباشد، به سراغ حالت پیش‌بینی درون‌قابی دوم در مجموعه حالت‌های پیش‌بینی رفته و دوباره تابع هزینه برای آن محاسبه می‌شود.

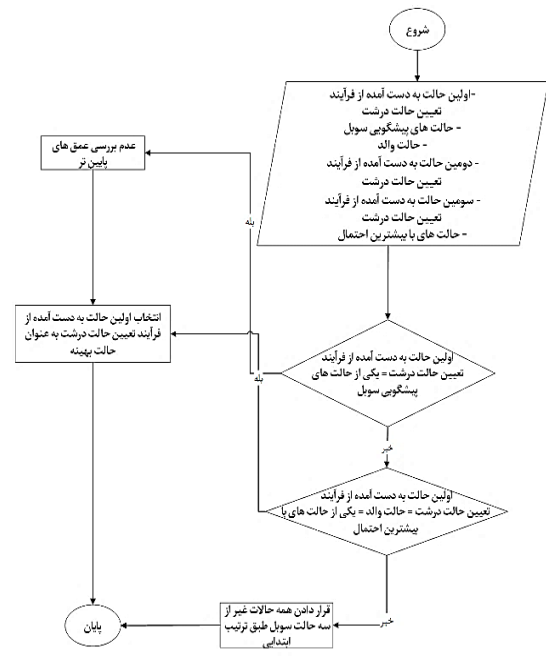
اگر این مقدار از تابع هزینه حالت پیش‌بینی درون‌قابی عضو نخست، کمتر باشد، تابع هزینه حالت

¹Parent mode

²Bjontegaard Delta

پیش بینی درون قابی عضو دوم مجموعه در بافر قرار می گیرد و به همین ترتیب تمام حالت های پیش بینی درون قابی بررسی می شود تا در نهایت یکی از آنها به عنوان حالت پیش بینی بهینه انتخاب شود.

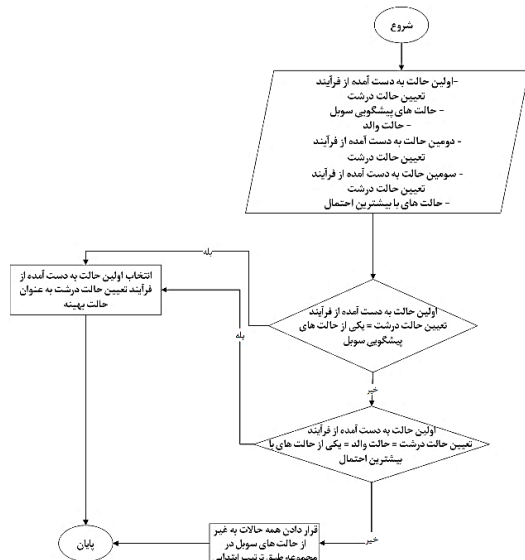
حالت پیش بینی درون قابی عضو اول، کمتر باشد، تابع هزینه حالت پیش بینی درون قابی عضو دوم مجموعه در بافر قرار می گیرد و به همین ترتیب تمام حالت های پیش بینی درون قابی بررسی می شود تا در نهایت یکی از آنها به عنوان حالت پیش بینی بهینه انتخاب شود.



شکل - ۲) نمودار گردش کار نحوه انتخاب مجموعه حالات

پیش بینی درون قابی در روش پیشنهادی سریع

Fig.2. Flowchart of best Intra angle selection for proposed fast algorithm



شکل - ۳) نمودار گردش کار نحوه به روزرسانی مجموعه حالات

پیش بینی درون قابی در روش پیشنهادی دقیق

Fig.3. Flowchart of best Intra angle selection for proposed accurate algorithm

۲-۲- روش پیشنهادی جهت تعیین سریع حدود عمق واحد کد گذاری

در نرم افزار مرجع HEVC(HM)، که برای شبیه سازی این استاندارد طراحی شده است، به طور پیش فرض، اندازه واحد کد گذاری مساوی ۶۴ و بازه عمق واحد کد گذاری نیز بازه صفر تا سه در نظر گرفته می شود. در کد نرم افزار مرجع، عمق تحت بررسی واحد کد گذاری جهت یافتن عمق بهینه برای تمام قاب های موجود در یک ویدیو، بازه یکسانی در نظر گرفته می شود. انتظار می رود که عمق های کوچک تر برای واحدهای کد گذاری قرار گرفته در مناطق هموار تصویر و عمق های بزرگ تر برای واحدهای کد گذاری با بافت پیچیده انتخاب شوند. آنچه در عمل مشاهده می شود این است که در پیش بینی درون قابی، احتمال وقوع عمق صفر در مناطق هموار تصویر بیشتر است. از سوی دیگر، عمق صفر در نواحی با بافت پیچیده به ندرت بهینه گی نرخ بیت-عوجاج را تضمین می کند. این نتایج نشان می دهد که بازه عمق واحد کد گذاری را می توان با

برای یافتن حالت پیش بینی درون قابی در روش دقیق، مقدار آستانه را طبق رابطه (۶)، نصف مقدار آستانه تعریف شده در رابطه (۵) در نظر می گیریم:

$$Tr2 = Tr1/2 \quad (6)$$

از نخستین حالت پیش بینی درون قابی در مجموعه، فرآیند آغاز می شود؛ به این ترتیب که تابع هزینه حالت پیش بینی درون قابی عضو نخست حساب شده و مقدار آن در یک بافر قرار می گیرد. اگر مقدار این تابع هزینه کمتر از آستانه تعریف شده با رابطه (۶) باشد، همین حالت به عنوان حالت پیش بینی بهینه انتخاب، سپس بر اساس این حالت پیش بینی درون قابی به دست آمده، تقسیم بندی واحدهای تبدیل آغاز می شود؛ اما اگر تابع هزینه حالت پیش بینی درون قابی نخست از آستانه تعریف شده با رابطه (۶) کمتر نباشد، به سراغ حالت پیش بینی درون قابی دوم در مجموعه حالت های پیش بینی رفته و دوباره تابع هزینه را برای آن حساب می کنیم. اگر این مقدار از تابع هزینه

استفاده از ویژگی‌های ساختاری واحد کدگذاری مربوطه تعیین کرد. در تصاویر طبیعی، واحدهای کدگذاری مجاور به‌طورعمومی ساختار مشابه دارند. در نتیجه، عمق بهینه واحد جاری می‌تواند به عمق بهینه واحدهای مجاور آن بسیار نزدیک باشد. بر اساس آنچه گفته شد و همچنین نتایج به‌دست‌آمده از آزمایش بر روی ویدیوهای مختلف، می‌توان برای پیش‌بینی عمق بهینه از رابطه (۷) استفاده کرد:

$$Depth_{pre} = \sum_{i=0}^{N-1} w_i \alpha_i \quad (7)$$

که در این رابطه، N تعداد واحدهای درخت کدگذاری (CTU) مجاور و مساوی ۴ است. w_i عمق بهینه هر یک از چهار واحد کدگذاری همسایه بلوک جاری است و α_i ضریبی است که به هر کدام از واحدهای همسایه اختصاص یافته است. مقادیر این ضرایب در شکل (۴) مشخص شده‌است. از آنجا که عمق پیش‌بینی شده ($Depth_{pre}$) باید مقداری بین صفر تا سه داشته باشد، ضرایب α_i باید کوچک‌تر از یک بوده و مجموع این ضرایب مساوی یک باشد. بر اساس مقدار به‌دست‌آمده از رابطه (۷)، هر CTU در یک دسته، مطابق جدول (۲)، قرار می‌گیرد.

| | | |
|-------------------------------|--------------------------|--------------------------------|
| Left-Up CTU $\alpha = 0.2$ | Up CTU $\alpha = 0.3$ | Right-Up CTU $\alpha = 0.2$ |
| Left CTU $\alpha = 0.3$ | Current CTU | |

(شکل-۴) محل قرارگیری واحدهای مجاور واحد جاری و ضریب اختصاص یافته به هر کدام از آن‌ها

Fig.4. Position of neighboring CTUs and their related weights

(جدول-۲) نحوه دسته‌بندی واحدهای کدگذاری بر اساس مقدار به‌دست‌آمده از رابطه (۶)

Table.2. CU classification based on (6)

| $Depth_{pre}$ | Category |
|------------------------------|----------|
| $Depth_{pre} \leq 0/5$ | I |
| $0/5 < Depth_{pre} \leq 1/5$ | II |
| $1/5 < Depth_{pre} \leq 2/5$ | III |
| $2/5 < Depth_{pre} \leq 3$ | IV |

با توجه به نتایج آزمایش‌هایی که بر روی نه ویدیو با تفکیک‌پذیری‌های متفاوت انجام شده می‌توان چنین نتیجه گرفت که:

- برای واحدهای قرارگرفته در گروه I، بیشینه عمق مورد بررسی مساوی یک قرار داده‌شود.
 - برای واحدهای قرارگرفته در گروه II، بیشینه عمق مورد بررسی مساوی دو قرار داده‌شود.
 - برای واحدهای قرارگرفته در گروه III، از انجام فرآیند پیش‌بینی درون‌قابی در عمق صفر صرف‌نظر شود.
 - برای واحدهای قرارگرفته در گروه IV، از انجام فرآیند پیش‌بینی درون‌قابی در عمق صفر و یک صرف‌نظرشود.
- در روش سریع به‌منظور افزایش هرچه بیشتر سرعت، اگر واریانس CTU کمتر از هزار و نوع CTU دو، سه یا چهار باشد، نوع CTU را یکی کمتر در نظر می‌گیریم. چون اگر واریانس CTU از آستانه، که در اینجا هزار در نظر گرفته شده، کمتر باشد، بدین معنی است که این CTU پیچیدگی بالایی ندارد؛ بنابراین می‌توان این CTU را در دسته پایین‌تری قرار داد. برای مثال، اگر عمق پیش‌بینی شده برای یک CTU بین ۲/۵ و ۳ بوده و واریانس آن هم کمتر از هزار باشد، این CTU را در دسته سه قرار می‌دهیم.

در روش دقیق اگر اختلاف دو حالت پیش‌بینی نخست به‌دست‌آمده از عملگر سوبل در یک CTU، از یک بیشتر نباشد و نوع CTU بزرگتر از یک و کوچکتر از پنج باشد و واریانس CTU کمتر از ۹۷ باشد، نوع CTU در نظر گرفته می‌شود؛ اما اگر یکی از این سه شرط برقرار نباشد و اختلاف دو حالت پیش‌بینی نخست به‌دست‌آمده از عملگر سوبل بیشتر از یک باشد و نوع CTU بزرگتر از یک و کوچکتر از پنج باشد و واریانس CTU بیشتر از ۹۲۰ باشد، CTU مطابق الگوی پیش‌فرض نرم‌افزار مرجع کد می‌شود. باز هم اگر این شروط برقرار نباشند و اختلاف دو حالت پیش‌بینی نخست به‌دست‌آمده از عملگر سوبل، یکی بیشتر نباشد و نوع CTU چهار و واریانس آن کمتر از پانصد باشد، نوع CTU یکی کمتر از مقدار به‌دست‌آمده از رابطه (۷) در نظر گرفته می‌شود. اگر هیچ‌کدام از شروط بالا برقرار نباشد، نوع CTU همان است که از رابطه (۷) به‌دست آمده است. مقادیر عددی آستانه‌ها به صورت تجربی به دست آمده است.

۳- نتایج شبیه‌سازی

ارزیابی روش پیشنهادشده جهت تسریع در فرآیند پیش‌بینی درون‌قابی در استاندارد HEVC که در بخش ۲ معرفی شد، با پیاده‌سازی روش یادشده تحت نسخه ۱۶/۱۵ نرم‌افزار مرجع HEVC، که HM16.15 نامیده می‌شود، و تنظیمات encoder_intra_main انجام شده‌است.

به‌منظور ارزیابی بهره‌کدگذاری از معیارهای BD-PSNR و BD-Rate [۳۶] استفاده شده و برای ارزیابی میزان پیچیدگی محاسباتی، مدت زمان کدگذاری مورد توجه بوده است. معیارهای BD-BR (%) و BD-PSNR (dB) برای بیان متوسط اختلاف PSNR و نرخ بیت و DT (%) برای بیان میزان تغییر در زمان کدگذاری دو روش استفاده می‌شوند.

همان‌طور که در جدول (۳) دیده می‌شود، با استفاده از روش دقیق، زمان مورد نیاز برای فشرده‌سازی به طور متوسط حدود ۳۲٪ کاهش یافته است. این میزان کاهش در روش FCUSMD، با توجه به جدول (۴)، حدود ۳۹٪ است.

(جدول ۵- نتایج شبیه‌سازی برای نه ویدیوی مورد آزمایش با استفاده از روش پیشنهادی سریع)

Table.5. Proposed fast algorithm simulation Results of 9 videos

| Class | Video Sequence | ΔT (%) | BD-PSNR (dB) | BD-BR (%) |
|----------------|-----------------------------|----------------|--------------|--------------|
| A | Traffic (2560x1600) | -79.45 | -0.7356 | 28.21 |
| B | Kimono (1920x1080) | -68.29 | -0.9472 | 21.28 |
| B | BasketballDrive (1920x1080) | -74.89 | -0.6412 | 24.86 |
| C | BQMall (832x480) | -65.2 | -1.1955 | 26.29 |
| D | BasketballPass (416x240) | -48 | -0.9572 | 17.53 |
| D | BQSquare (416x240) | -50.85 | -1.3401 | 18.96 |
| D | BlowingBubbles (416x240) | -49.35 | -0.7850 | 12.9 |
| D | RaceHorses (416x240) | -48.57 | -3.8249 | 20.11 |
| E | FourPeople (1280x720) | -70.12 | -1.0751 | 27.44 |
| Average | | 0.6163 | -1.27 | 22.28 |

بیشترین میزان زمان کاهش‌یافته با استفاده از روش دقیق، در ویدیوی Traffic رخ داده است. این امر شباهت بیشتر مود حاصل‌شده از اعمال اپراتور سوپل و مدهای حالت درشت و حالت بیشترین احتمال را برای ویدئوی با وضوح بالای Traffic نشان می‌دهد. برای درک میزان متوسط افت PSNR در روش دقیق و روش FCUSMD نسبت به HM، مقادیر BD-PSNR و برای درک میزان متوسط افزایش نرخ بیت، مقادیر BD-BR محاسبه شده‌اند. همان‌طور که در جدول (۳) مشاهده می‌شود، در روش دقیق نسبت به HM، نسبت بیشینه سیگنال به نوفه به طور متوسط ۰/۱۱۳ دسی بل افت و نرخ بیت به‌طور متوسط ۲/۴۱٪ افزایش داشته است. افت بسیار کم در سیگنال به نوفه نشان‌دهنده انتخاب‌شدن

(جدول ۳- نتایج شبیه‌سازی برای نه ویدیوی مورد آزمایش با استفاده از روش پیشنهادی دقیق)

Table.3. Proposed accurate algorithm simulation Results of 9 videos

| Class | Video Sequence | ΔT (%) | BD-PSNR (dB) | BD-BR (%) |
|----------------|-----------------------------|----------------|---------------|-------------|
| A | Traffic (2560x1600) | -42.17 | -0.079 | 2.88 |
| B | Kimono (1920x1080) | -37.56 | -0.085 | 2.12 |
| B | BasketballDrive (1920x1080) | -38.27 | -0.078 | 2.78 |
| C | BQMall (832x480) | -32.47 | -0.155 | 2.93 |
| D | BasketballPass (416x240) | -23.9 | -0.130 | 2.24 |
| D | BQSquare (416x240) | -25.68 | -0.193 | 2.26 |
| D | BlowingBubbles (416x240) | -27.73 | -0.132 | 2.05 |
| D | RaceHorses (416x240) | -23.78 | -0.098 | 1.69 |
| E | FourPeople (1280x720) | -37.12 | -0.087 | 2.84 |
| Average | | -32.07 | -0.113 | 2.41 |

(جدول ۴- نتایج شبیه‌سازی برای نه ویدیوی مورد آزمایش با استفاده از روش FCUSM)

Table.4. FCUSM simulation Results of 9 videos

| Class | Video Sequence | ΔT (%) | BD-PSNR (dB) | BD-BR (%) |
|----------------|-----------------------------|----------------|----------------|-------------|
| A | Traffic (2560x1600) | -43.24 | -0.097 | 3.15 |
| B | Kimono (1920x1080) | -37.28 | -0.091 | 2.718 |
| B | BasketballDrive (1920x1080) | -40.23 | -0.076 | 2.678 |
| C | BQMall (832x480) | -40.56 | -0.1932 | 3.65 |
| D | BasketballPass (416x240) | -38.15 | -0.1904 | 3.28 |
| D | BQSquare (416x240) | -38.65 | -0.2713 | 3.65 |
| D | BlowingBubbles (416x240) | -38.5 | -0.2174 | 3.4 |
| D | RaceHorses (416x240) | -39.05 | -0.1661 | 2.87 |
| E | FourPeople (1280x720) | -42.87 | -0.12 | 2.985 |
| Average | | -39.82 | -0.1584 | 3.15 |

این نرم‌افزار مرجع توسط تیم همکاری مشترک کدگذاری ویدئو (JCT-VC) طراحی شده است و هدف اصلی از طراحی آن، ارزیابی ایده‌های جدید در مورد این استاندارد تحت یک برنامه واحد است.

برای ارزیابی روش یادشده، از ۹ ویدیوی استاندارد با تفکیک‌پذیری‌های متفاوت استفاده شده است. برای بررسی عملکرد روش پیشنهادی، این روش با روش FCUSMD [۳۰] مقایسه شده است. نتایج شبیه‌سازی روش پیشنهادی دقیق و سریع و همچنین روش FCUSMD به‌ترتیب در جداول ۳، ۴ و ۵ آورده شده است. روش پیشنهادی با پارامترهای چندی سازی ۳۲، ۲۷، ۳۲ و ۳۷ مورد ارزیابی قرار گرفته است.

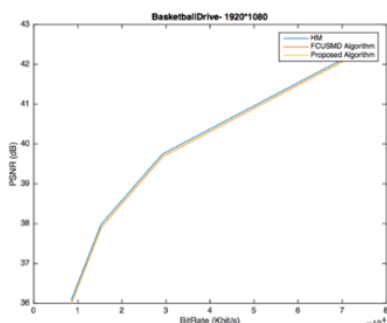
بیشتر مودهایی است که در HM نسخه ۱۶/۱۵ نیز انتخاب شده است. با توجه به جدول (۵)، در روش FCUSMD نسبت به HM، نسبت بیشینه سیگنال به نویز به طور متوسط ۰/۱۵۸ دسی بل افت و نرخ بیت به طور متوسط ۳/۱۵٪ افزایش داشته است. از مقایسه جداول ۳ و ۵ می توان نتیجه گرفت که از نظر معیار زمان صرف شده برای فشرده سازی، روش پیشنهادی دقیق نسبت به روش FCUSMD اندکی ضعیف تر عمل می کند. مقایسه مقادیر BD-PSNR و BD-Rate نشان می دهد که در روش پیشنهادی دقیق، افت کیفیت نسبت به HM در مقایسه با روش FCUSMD کمتر است؛ یا به عبارت دیگر، کیفیت ویدیوی فشرده و کدگشایی شده با روش پیشنهادی دقیق نسبت به ویدیوی فشرده و کدگشایی شده با روش FCUSMD بالاتر است. اگر میزان افزایش نرخ بیت نسبت به نرم افزار مرجع نیز مورد توجه قرار گیرد، مشاهده می شود که در روش پیشنهادی دقیق، نرخ بیت نسبت به HM تنها ۳۲/۲٪ افزایش داشته است؛ در حالی که این میزان افزایش در روش FCUSMD، ۳/۲۵٪ است. پس از این لحاظ نیز روش دقیق نسبت به روش FCUSMD برتری دارد.

شکل (۵) اطلاعات جزئی تری را از روش پیشنهادی دقیق در مقایسه با نرم افزار مرجع و روش FCUSMD در پارامترهای چندی سازی ۲۲، ۲۷، ۳۲ و ۳۷ برای دو ویدیوی "BasketballDrive (1920*1080)" و "BQMall (832*480)" نشان می دهد. در شکل های ۵-الف و ۵-ج می توان مشاهده کرد که روش پیشنهادی دقیق در نرخ بیت های مختلف عملکردی مشابه با نرم افزار مرجع و اندکی بهتر از روش FCUSMD داشته و در عین حال، همان طور که در شکل های ۵-ب و ۵-د دیده می شود، زمان کدگذاری نیز در این روش نسبت به نرم افزار مرجع کاهش قابل ملاحظه ای دارد.

همان طور که در جدول (۴) دیده می شود، با استفاده از روش سریع، زمان مورد نیاز برای فشرده سازی به طور متوسط حدود ۶۲٪ کاهش یافته است. این میزان کاهش در روش FCUSMD، با توجه به جدول ۵، حدود ۳۹٪ است. بیشترین میزان زمان کاهش یافته با استفاده از روش سریع، در ویدیوی Traffic رخ داده است که این میزان مساوی ۷۷/۸۹٪ است. برای درک میزان متوسط افت PSNR در روش سریع و روش FCUSMD نسبت به HM، مقادیر PSNR - BD و برای درک میزان متوسط افزایش نرخ بیت، مقادیر BD-BR محاسبه شده اند. همانطور که در جدول ۴ مشاهده می شود، در روش سریع نسبت به HM،

نسبت بیشینه سیگنال به نویز به طور متوسط ۱/۲۷ دسی بل (dB) افت و نرخ بیت به طور متوسط ۲۲٪ افزایش داشته است. با توجه به جدول ۵، در روش FCUSMD نسبت به HM، نسبت بیشینه سیگنال به نویز به طور متوسط ۰/۱۵۸ دسی بل (dB) افت و نرخ بیت به طور متوسط ۳/۱۵٪ افزایش داشته است. از مقایسه دو جدول ۴ و ۵ می توان نتیجه گرفت که از نظر معیار زمان صرف شده برای فشرده سازی، روش پیشنهادی سریع نسبت به روش FCUSMD بسیار بهتر عمل می کند؛ چرا که با توجه به جدول (۴) با به کارگیری روش پیشنهادی، سرعت کدگذاری نسبت به HM به طور متوسط به بیش از دو برابر افزایش یافته است؛ در حالی که زمان کدگذاری در روش FCUSMD در مقایسه با HM تنها ۳۹٪ کاهش یافته است. در نتیجه روش پیشنهادی سریع نسبت به روش FCUSMD از لحاظ سرعت کدگذاری عملکرد بسیار بهتری دارد؛ اما اگر معیار BD-PSNR لحاظ شود، مشاهده می شود که میزان متوسط کاهش PSNR در روش پیشنهادی نسبت به HM، ۱/۲۷ دسی بل و این میزان در روش FCUSMD ۰/۱۵۸ دسی بل است؛ بنابراین با مد نظر قرار دادن این دو معیار، روش پیشنهادی سریع در مقایسه با روش FCUSMD عملکرد ضعیف تری دارد.

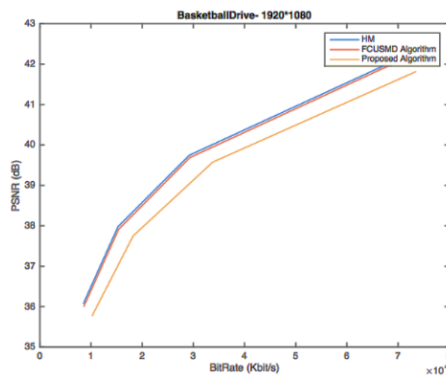
شکل (۶) اطلاعات جزئی تری را از روش پیشنهادی سریع در مقایسه با نرم افزار مرجع و روش FCUSMD در پارامترهای چندی سازی ۲۲، ۲۷، ۳۲ و ۳۷ برای دو ویدیوی "BasketballDrive (1920*1080)" و "BQMall (832*480)" نشان می دهد. در شکل های ۶-الف و ۶-ج که به ترتیب منحنی RD و منحنی های زمان کاهش یافته نسبت به نرم افزار مرجع، برای ویدیوی BasketballDrive را نشان می دهند، می توان مشاهده کرد که عملکرد روش پیشنهادی سریع اندکی از نرم افزار مرجع و روش FCUSMD در نرخ بیت های مختلف پایین تر است؛ اما از طرف دیگر با مشاهده شکل های ۵-ب و ۵-د کاهش بسیار زیاد زمان کدگذاری نسبت به دو روش دیگر قابل ملاحظه است.



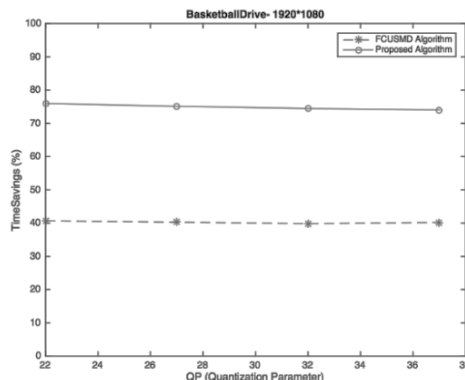
الف) منحنی RD برای ویدیوی BasketballDrive
a) RD curve of BasketballDrive video

۴- نتیجه‌گیری

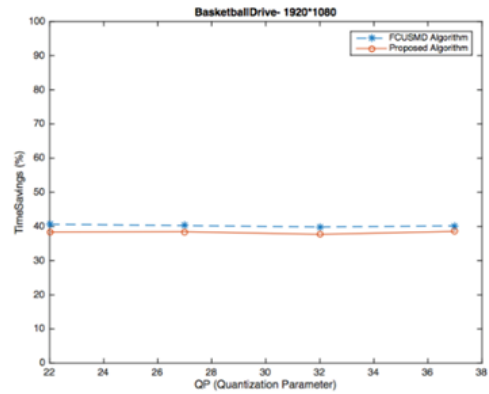
در این پژوهش، روشی سریع برای انجام پیش‌بینی درون‌قابی در استاندارد HEVC به‌منظور کاهش پیچیدگی‌های محاسباتی این استاندارد، پیشنهاد شد. این روش شامل دو بخش بود؛ در بخش اول، با روشی که در بخش ۲ توضیح داده شد، عمق بهینه واحد کدگذاری مورد بررسی تعیین می‌شد و در بخش دوم، با استفاده از اصل تشابه بلوک‌های مجاور و با استفاده از عملگر سوپل حالت پیش‌بینی درون‌قابی بهینه برای هر واحد کدگذاری به‌دست می‌آمد. برای ارزیابی روش پیشنهادی، این روش روی نرم‌افزار مرجع پیاده‌سازی شد. نتایج به‌دست‌آمده از شبیه‌سازی روی ویدیوهایی با تفکیک‌پذیری‌های متفاوت نشان داد که روش پیشنهادی نسبت به نرم‌افزار مرجع بسیار سریع‌تر است. البته باید این نکته را نیز در نظر داشت که این روش در کنار سرعت بالا، افت کیفیت قابل ملاحظه‌ای به همراه ندارد. همچنین با مقایسه این روش با روش‌های پیشنهادی دیگر، مشاهده می‌شود که نسبت به آن روش‌ها نیز سرعت بالاتری دارد.



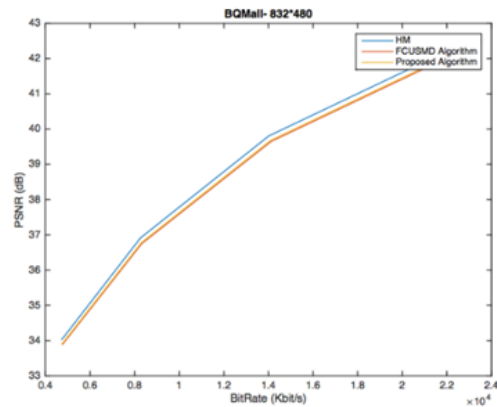
الف) منحنی RD برای ویدیوی BasketballDrive
a) RD curve of BasketballDrive video



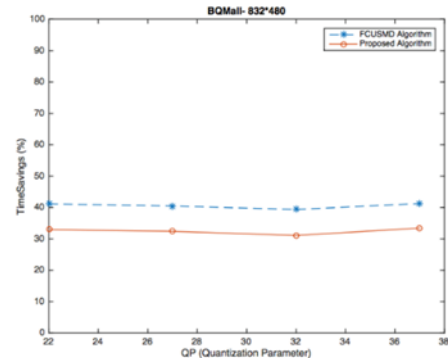
ب) منحنی‌های زمان کاهش یافته نسبت به نرم‌افزار مرجع برای ویدیوی BasketballDrive
b) Coding time comparison with HM16.15 for BasketballDrive video



ب) منحنی‌های زمان کاهش یافته نسبت به نرم‌افزار مرجع برای ویدیوی BasketballDrive
b) Coding time comparison with HM16.15 for BasketballDrive video



ج) منحنی RD برای ویدیوی BQMall
c) RD curve of BasketballDrive video

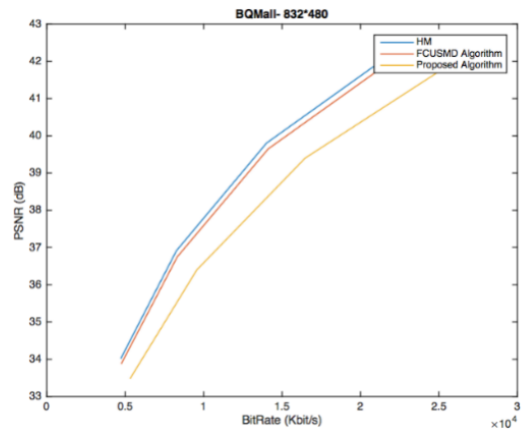


د) منحنی‌های زمان کاهش یافته نسبت به نرم‌افزار مرجع در ویدیوی BQMall
d) Coding time comparison with HM16.15 for BQMall video

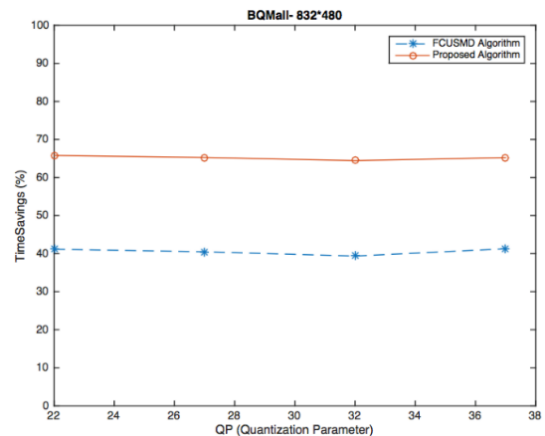
شکل-۵) نتایج شبیه‌سازی با روش پیشنهادی دقیق در دو ویدیوی "BasketballDrive" (1920×1080) و "BQMall" (832×416) تحت پارامترهای چندی‌سازی مختلف (۲۲، ۲۷، ۳۲ و ۳۷)

Fig.5. Simulation Results of proposed accurate algorithm for "BasketballDrive" (1920×1080) and "BQMall" (832×416) videos with Qp = 22, 27, 32, 37

- [5] M. Jamali, S. Coulombe, and F. Caron, "Fast HEVC intra mode decision based on edge detection and SATD costs classification," in *Data Compression Conference (DCC), 2015*, 2015, pp. 43-52: IEEE.
- [6] G. J. Sullivan, J. Ohm, W.-J. Han, and T. Wiegand, "Overview of the high efficiency video coding (HEVC) standard," *IEEE Transactions on circuits and systems for video technology*, vol. 22, no. 12, pp. 1649-1668, 2012.
- [7] H. Brahmasury Jain and K. Rao, "Fast intra mode decision in high efficiency video coding," *Polibits*, no. 50, pp. 5-12, 2014.
- [8] Q. Hu, Z. Shi, X. Zhang, and Z. Gao, "Fast HEVC intra mode decision based on logistic regression classification," in *Broadband Multimedia Systems and Broadcasting (BMSB), 2016 IEEE International Symposium on*, 2016, pp. 1-4: IEEE.
- [9] W. Liao, D. Yang, and Z. Chen, "A fast mode decision algorithm for HEVC intra prediction," in *Visual Communications and Image Processing (VCIP), 2016*, 2016, pp. 1-4: IEEE.
- [10] D. B. Patel, D. M. Chauhan, and K. C. Pathak, "Edges based intra-prediction in High Efficiency Video Coding (HEVC) standard," in *Engineering and Technology (ICETECH), 2016 IEEE International Conference on*, 2016, pp. 995-1000: IEEE.
- [11] Y. Piao, J. Min, and J. Chen, "Encoder improvement of unified intra prediction, joint collaborative team on video coding (JCT-VC) of ITU-TSG16 WP3 and ISO," IEC JTC1/SC29/WG11, document JCTVC-C2072010.
- [12] R. Tian, Y. Zhang, R. Fan, and G. Wang, "Adaptive Fast Mode Decision for HEVC Intra Coding," in *Digital Image Computing: Techniques and Applications (DICTA), 2016 International Conference on*, 2016, pp. 1-6: IEEE.
- [13] W. Xiang, C. Cai, Z. Wang, H. Zeng, and J. Chen, "Fast intra mode decision for HEVC," in *Signal-Image Technology and Internet-Based Systems (SITIS), 2014 Tenth International Conference on*, 2014, pp. 283-288: IEEE.
- [14] M. Zhang, C. Zhao, and J. Xu, "An adaptive fast intra mode decision in HEVC," in *Image Processing (ICIP), 2012 19th IEEE International Conference on*, 2012, pp. 221-224: IEEE.
- [15] L. Zhao, L. Zhang, S. Ma, and D. Zhao, "Fast mode decision algorithm for intraprediction in HEVC," in *Visual Communications and Image Processing (VCIP), 2011 IEEE*, 2011, pp. 1-4: IEEE.
- [16] O. C. Cristina, U. R. Mihnea, and P. Ionut, "HEVC intra partitioning and mode decision using histograms of oriented gradients," in *Electronics and Telecommunications (ISETC), 2016 12th IEEE International Symposium on*, 2016, pp. 277-280: IEEE.
- [17] J. M. Ha, J. H. Bae, and M. H. Sunwoo, "Texture-based fast CU size decision algorithm for HEVC intra coding," in *Circuits and Systems (APCCAS), 2016 IEEE Asia Pacific Conference on*, 2016, pp. 702-705: IEEE.
- [18] A. Heindel and A. Kaup, "Fast intra mode decision in HEVC using early distortion estimation," in *Signal and Information Processing (ChinaSIP), 2015 IEEE*



ج) منحنی RD برای ویدیوی BQMall
c) RD curve of BasketballDrive video



د) منحنی‌های زمان کاهش یافته نسبت به نرم‌افزار مرجع در ویدیوی BQMall
d) Coding time comparison with HM16.15 for BQMall video

(شکل ۶- نتایج شبیه‌سازی با روش پیشنهادی سریع برای دو ویدیوی (1920×1080) "BasketballDrive" و (832×416) "BQMall" تحت پارامترهای چندی سازی مختلف (22, 27, 32, 37)

Fig.6. Simulation Results of proposed fast algorithm for "BasketballDrive" (1920×1080) and "BQMall" (832×416) videos with Qp = 22, 27, 32, 37

5-Refrence

۵- مراجع

- [1] M. Wien, *High efficiency video coding: Coding tools and specification*. Springer, 2014.
- [2] M. Budagavi, *High Efficiency Video Coding (hevc): Algorithms and Architectures*. Springer, 2016.
- [3] G. J. Sullivan, J. R. Ohm, "HEVC software guidelines," *Joint Collaborative Team on Video Coding (JVT-VC) of ITU-T SG16 WP3 and ISO/IEC JTC1/SC29/WG11*, document JCTVC-H1001, 8th Meeting: San Jose, CA, USA, Feb. 2012.
- [4] R. C. Gonzalez and R. E. Woods, "Digital image processing," ed: Upper Saddle River, NJ: Prentice Hall, 2012.

- HEVC intra coding," in *Industrial Electronics and Applications (ISIEA), 2013 IEEE Symposium on*, 2013, pp. 52-56: IEEE.
- [32] X. Shang, G. Wang, T. Fan, and Y. Li, "Fast CU size decision and PU mode decision algorithm in HEVC intra coding," in *Image Processing (ICIP), 2015 IEEE International Conference on*, 2015, pp. 1593-1597: IEEE.
- [33] C.-F. Tseng and Y.-T. Lai, "Fast coding unit decision and mode selection for intra-frame coding in high-efficiency video coding," *IET image processing*, vol. 10, no. 3, pp. 215-221, 2016.
- [34] Q. Zhang, J. Sun, Y. Duan, and Z. Guo, "A two-stage fast CU size decision method for HEVC intracoding," in *Multimedia Signal Processing (MMSP), 2015 IEEE 17th International Workshop on*, 2015, pp. 1-6: IEEE.
- [35] X. Zhou, G. Shi, and W. Zhou, "Perceptual CU Size Decision and Fast Prediction Mode Decision Algorithm for HEVC Intra Coding," in *Multimedia (ISM), 2016 IEEE International Symposium on*, 2016, pp. 375-378: IEEE.
- [36] G. Bjontegarrd, "Calculation of average PSNR differences between RD-curves," *VCEG-M33*, 2001.
- [37] Jamali, M. and Coulombe, S., 2018. Fast HEVC intra mode decision based on RDO cost prediction. *IEEE Transactions on Broadcasting*, 65(1), pp.109-122.
- [38] Gu, J., Tang, M., Wen, J. and Han, Y., 2017. Adaptive intra candidate selection with early depth decision for fast intra prediction in HEVC. *IEEE Signal Processing Letters*, 25(2), pp.159-163.
- China Summit and International Conference on, 2015, pp. 559-563: IEEE.
- [19] J. Hou, D. Li, Z. Li, and X. Jiang, "Fast CU size decision based on texture complexity for HEVC intra coding," in *Mechatronic Sciences, Electric Engineering and Computer (MEC), Proceedings 2013 International Conference on*, 2013, pp. 1096-1099: IEEE.
- [20] J. Kim, J. Yang, H. Lee, and B. Jeon, "Fast intra mode decision of HEVC based on hierarchical structure," in *Information, Communications and Signal Processing (ICICS) 2011 8th International Conference on*, 2011, pp. 1-4 :IEEE.
- [21] T. Mallikarachchi, A. Fernando, and H. K. Arachchi, "Efficient coding unit size selection based on texture analysis for hevc intra prediction," in *Multimedia and Expo (ICME), 2014 IEEE International Conference on*, 2014, pp. 1-6: IEEE.
- [22] B. Min and R. C. Cheung, "A fast CU size decision algorithm for the HEVC intra encoder," *IEEE Transactions on Circuits and Systems for Video Technology*, vol. 25, no. 5, pp. 892-896, 2015.
- [23] M. Radosavljević, G. Georgakarakos, S. Lafond, and D. Vukobratović, "Fast coding unit selection based on local texture characteristics for HEVC intra frame," in *Signal and Information Processing (GlobalSIP), 2015 IEEE Global Conference on*, 2015, pp. 1377-1381: IEEE.
- [24] M. Ramezanpour and F. Zargari, "Early termination algorithm for CU size decision in HEVC intra coding," in *Machine Vision and Image Processing (MVIP), 2015 9th Iranian Conference on*, 2015, pp. 45-48: IEEE.
- [25] K. Saurty, P. C. Catherine, and K. Soyjaudah, "Terminating CU splitting in HEVC intra prediction using the Hadamard Absolute Difference (HAD) cost," in *SAI Intelligent Systems Conference (IntelliSys), 2015*, 2015, pp. 836-841: IEEE.
- [26] L. Shen, Z. Zhang, and Z. Liu, "Effective CU size decision for HEVC intracoding," *IEEE Transactions on Image Processing*, vol. 23, no. 10, pp. 4232-4241, 2014.
- [27] S. Yan, L. Hong, W. He, and Q. Wang, "Group-based fast mode decision algorithm for intra prediction in HEVC," in *Signal Image Technology and Internet Based Systems (SITIS), 2012 Eighth International Conference on*, 2012, pp. 225-229: IEEE.
- [28] H. Sun, D. Zhou, and S. Goto, "A low-complexity HEVC intra prediction algorithm based on level and mode filtering," in *Multimedia and Expo (ICME), 2012 IEEE International Conference on*, 2012, pp. 1085-1090: IEEE.
- [29] J. Guo, G. Chen, J. Zheng, and D. Guo, "Gradient based fast CU splitting and mode decision algorithm for HEVC intra prediction," in *Anti-counterfeiting, Security, and Identification (ASID), 2014 International Conference on*, 2014, pp. 1-5: IEEE.
- [30] L. Shen, Z. Zhang, P. An, "Fast CU Size Decision and Mode Decision Algorithm for HEVC Intra Coding". *IEEE Transactions on Consumer Electronics*, Vol 59, No. 1, pp. 207-213, Feb. 2013.
- [31] T. Nishikori, T. Nakamura, T. Yoshitome, and K. Mishiba, "A fast CU decision using image variance in



سمانه پارسایی در سال ۱۳۸۸

مقطع کارشناسی خود را در رشته

مهندسی برق مخابرات در دانشگاه

فردوسی مشهد به پایان رسانده است.

وی مدرک کارشناسی ارشد را نیز در

رشته مهندسی برق مخابرات سیستم از دانشگاه فردوسی

مشهد اخذ کرده است. پژوهش‌های مورد علاقه ایشان در

زمینه فشرده سازی ویدئو است.

نشانی رایانامه ایشان عبارت است از:

sa.parsaie@um.ac.ir



حسین خانجانی در سال ۱۳۸۲

مقطع کارشناسی خود را در رشته

مهندسی برق مخابرات در دانشگاه

فردوسی مشهد به پایان رسانده

است. وی مدرک کارشناسی ارشد را

در رشته از دانشگاه خوارزمی اخذ کرده است. پژوهش‌های

مورد علاقه ایشان در زمینه فشرده سازی ویدئو است.

نشانی رایانامه ایشان عبارت است از:

khanjani.hossein@mail.um.ac.ir



مرتضی خادمی درح تحصیلات خود را در مقاطع کارشناسی و کارشناسی ارشد مهندسی برق بترتیب در سالهای ۱۳۶۴ و ۱۳۶۶ در دانشگاه صنعتی اصفهان به پایان رسانده است. نامبرده از سال ۱۳۶۶ الی ۱۳۷۰ به عنوان عضو هیأت علمی (مربی) در دانشگاه فردوسی مشهد به کار مشغول بود. پس از آن به دوره دکترای مهندسی برق در دانشگاه ولونگونگ (استرالیا) وارد و در سال ۱۳۷۴ موفق به دریافت درجه دکترا در مهندسی برق از دانشگاه یادشده شد. دکتر خادمی از سال ۱۳۷۴ دوباره در دانشکده مهندسی دانشگاه فردوسی مشهد مشغول به فعالیت شد و اینک نیز استاد این دانشکده است. زمینه‌های پژوهشی مورد علاقه نامبرده شامل موضوعاتی مانند مخابرات ویدئویی، فشرده‌سازی ویدئو، پردازش تصویر، پردازش سیگنال‌های پزشکی و پنهان‌سازی اطلاعات در ویدئو است.

نشانی رایانامه ایشان عبارت است از:

khademi@um.ac.ir

عنوان استادیار در دانشگاه صنعتی قوچان فعالیت می‌کند. زمینه‌های پژوهشی مورد علاقه ایشان پردازش و فشرده‌سازی تصاویر و ویدیوهای دیجیتال، شبکه‌های مخابراتی، بینایی و آموزش ماشین، بازشناسی الگو و مدل‌سازی دستگاه بینایی مغز انسان است. دکتر هادی‌زاده از سال ۲۰۰۹ تاکنون، موفق به کسب ۲۲ عنوان و افتخار علمی مختلف از دانشگاه‌های داخلی و بین‌المللی شده‌است. از جمله آنها می‌توان به کسب عنوان بهترین مقاله در کنفرانس بین‌المللی IEEE-ICME2012 در ملبورن استرالیا، اخذ گرنت Microsoft Research و Canon و Information Systems Research Australia (CiSRA) دریافت عنوان بهترین مقاله کنفرانس بین‌المللی مهندسی برق در دانشگاه تهران اشاره کرد. در سال ۲۰۱۳ نیز به عنوان دبیر اجرایی IEEE Signal Processing Society در حوزه و نکوور کانادا فعالیت کرده‌اند. ایشان تجربه کاری در شرکت‌های بین‌المللی همچون Dolby Laboratories و Icron Technologies را دارد.

نشانی رایانامه ایشان عبارت است از:

h.hadizadeh@qiet.ac.ir



عباس ابراهیمی مقدم مدرک کارشناسی برق گرایش الکترونیک خود را از دانشگاه صنعتی شریف در سال ۱۳۷۰ و در سال ۱۳۷۴ مدرک کارشناسی ارشد را از دانشگاه صنعتی خواجه نصیر دریافت کرده است. ایشان مدرک دکترای خود را از دانشگاه McMaster کانادا دریافت کرده‌اند و از سال ۱۳۹۰ به عنوان استادیار در دانشگاه فردوسی مشهد فعالیت علمی می‌کند. زمینه‌های پژوهشی مورد علاقه ایشان پردازش گفتار، پردازش تصویر و ویدئو، بینایی ماشین و پردازش سیگنال‌های حیاتی است.

نشانی رایانامه ایشان عبارت است از:

a.ebrahimi@um.ac.ir



هادی هادی‌زاده مدرک کارشناسی و کارشناسی ارشد برق در گرایش الکترونیک خود را به ترتیب از دانشگاه صنعتی شاهرود در سال ۱۳۸۴ و دانشگاه علم و صنعت ایران در سال

۱۳۸۷ دریافت کرده است. وی مدرک دکترای خود را در رشته برق گرایش مخابرات از دانشگاه Simon Fraser کانادا در سال ۱۳۹۲ دریافت کرده و از همان سال به